

# Radiative decays $h_c \rightarrow \gamma\eta^{(\prime)}$ in the framework of Bethe-Salpeter equation

樊超杰

华中师范大学

2018年10月28日

# 报告内容

- 研究背景
- 理论框架
- 数值分析
- 总结

# 研究背景

## ✿ 实验观测

2016年，实验组BES III，首次观测到辐射衰变  $h_c \rightarrow \gamma\eta'$  ( $8.4\sigma$ ) 以及  $h_c \rightarrow \gamma\eta$  ( $4.0\sigma$ ) 的证据

$$\mathcal{B}(h_c \rightarrow \gamma\eta') = (1.52 \pm 0.27 \pm 0.29) \times 10^{-3}$$

$$\mathcal{B}(h_c \rightarrow \gamma\eta) = (4.7 \pm 1.5 \pm 1.4) \times 10^{-4}$$

$$\frac{\mathcal{B}(h_c \rightarrow \gamma\eta)}{\mathcal{B}(h_c \rightarrow \gamma\eta')} = (30.7 \pm 11.3 \pm 8.7)\%$$

♣ M. Ablikim et al. (BESIII Collaboration) Phys. Rev. Lett. 116, 251802 (2016).

## ✚ 理论研究

Branching ratios	Theory (zhu)	Experiment
$\mathcal{B}(h_c \rightarrow \gamma\eta) \times 10^{-4}$	$1.30^{+0.44}_{-0.32}$	$4.7 \pm 1.5 \pm 1.4$
$\mathcal{B}(h_c \rightarrow \gamma\eta') \times 10^{-3}$	$1.94^{+0.70}_{-0.51}$	$1.52 \pm 0.27 \pm 0.29$

- ♣ R.-L. Zhu and J.-P. Dai, Phys. Rev. D94, 094034 (2016). NRQCD
- ♣ Q. Wu, G. Li, and Y. Zhang, Eur. Phys. J. C77, 336 (2017). 介子圈模型

宽度:  $\Gamma_{h_c} = (0.70 \pm 0.28 \pm 0.22) MeV$  PDG

## ✿ 背景分析

- **S-波重夸克偶素的产生或衰变：** 短程湮灭部分（微扰处理），长程强子化过程（因子化为零点波函数）——忽略束缚态内部动量
- **P-波重夸克偶素的产生或衰变：** 类似处理却可能遭遇 **红外发散**

- ♣ R. Barbieri, R. Gatto, and E. Remiddi, Phys. Lett. 61B, 465 (1976); Nucl.Phys. B162, 220 (1980). ( $^3P_1, ^1P_1$  LO)
  - ♣ R. Barbieri, M. Caffo, R. Gatto, and E. Remiddi, Phys.Lett. 95B, 93 (1980); Nucl. Phys. B192, 61 (1981). ( $^3P_0, ^3P_2$  NLO)
  - ♣ Zhong-Zhi Song, Ce Meng, Ying-Jia Gao, and Kuang-Ta Chao, Phys. Rev. D 69, 054009 (2004). ( $B \rightarrow \chi_{cJ} K$ )
- .....

$$\mathcal{A} = \int \frac{d^4 q}{(2\pi)^4} Tr[\chi(q)\mathcal{O}(q)] \approx \int \frac{d^3 q}{(2\pi)^3} \phi(\mathbf{q}) Tr[\mathcal{P}(q)\mathcal{O}(q)]|_{q^0=0}$$

因波函数关于  $q$  很快趋于零，可对 “Tr” 部分进行泰勒展开

$$Tr[\mathcal{P}(0)\mathcal{O}(0)] + q^\alpha Tr\left[\frac{\partial \mathcal{P}(q)}{\partial q^\alpha}\Big|_{q \rightarrow 0} \mathcal{O}(0) + \mathcal{P}(0) \frac{\partial \mathcal{O}(q)}{\partial q^\alpha}\Big|_{q \rightarrow 0}\right] + \dots$$

● P-波重夸克偶素产生或衰变处理方案：考虑色八重态贡献 (NRQCD)

### 单举过程

- ♣ G.T. Bodwin, E. Braaten, and G.P. Lepage, Phys. Rev. D 46, R1914 (1992).
  - ♣ G. T. Bodwin, E. Braaten, and G. P. Lepage, Phys. Rev. D 51, 1125 (1995).
- .....

### 遍举过程

- ♣ M. Beneke and L. Vernazza, Nucl. Phys. B811, 155 (2009). ( $B \rightarrow \chi_{cJ} K$ )
- .....

考虑到P-波遍举衰变过程中色八重态的贡献计算比较复杂，这里我们借助于束缚态的Bethe-Salpeter波函数，试图给出一种新的尝试。

# 理论框架

## ✚ Bethe-Salpeter 波函数

- 忽略内部动量 $\Rightarrow$ 红外发散，考虑内部动量会如何？

在瞬时协变近似下，解束缚态 $h_c$ 的B-S方程得到其B-S波函数为：

$$\psi_{h_c}(\hat{q}_c) = N_{h_c} \hat{q}_c \cdot \varepsilon \left[ 1 + \frac{\not{p}}{m_{h_c}} + \frac{\hat{q}_c \not{p}}{m_{ce} m_{h_c}} \right] \gamma^5 f(\hat{q}_c),$$

其中  $f(\hat{q}_c)$  是标量函数，

$$f(\hat{q}_c) = \left( \frac{2}{3} \right)^{1/2} \frac{1}{\pi^{3/4} \beta_{h_c}^{5/2}} |\hat{q}_c| e^{-\frac{\hat{q}_c^2}{2\beta_{h_c}^2}},$$

这里  $\beta_{h_c}$  为谐振子参数。

- ♣ G.-L. Wang, Phys. Lett. B650, 15 (2007).
- ♣ S. Bhatnagar and L. Alemu, Phys. Rev. D97, 034021 (2018).

## ✚ 衰变振幅

- $\eta^{(\prime)}$  中夸克成分贡献

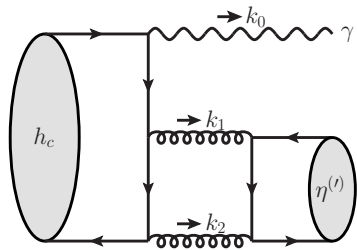


Figure:  $\eta^{(\prime)}$  中夸克成分贡献最低阶费曼图

$h_c \rightarrow \gamma\eta^{(\prime)}$  的衰变振幅:

$$\mathcal{M}^q = \mathcal{M}_{\alpha\lambda}^q \varepsilon_0^{*\alpha} \varepsilon^\lambda = \frac{1}{2} \int \frac{d^4 k_1}{(2\pi)^4} \mathcal{M}_{(h_c \rightarrow \gamma g^* g^*)\alpha\lambda\mu\nu} \mathcal{M}_{(g^* g^* - \eta^{(\prime)})}^{\mu\nu} \frac{i}{k_1^2 + i\epsilon} \frac{i}{k_2^2 + i\epsilon} \varepsilon_0^{*\alpha} \varepsilon^\lambda$$

引入:  $\mathcal{M}_{\alpha\lambda}^q = H^q h_{\alpha\lambda}$

这里  $H^q$  是 helicity amplitude (标量函数),  $h_{\alpha\lambda}$  是相应的张量结构, 利用洛伦兹不变性, 宇称守恒, 以及规范不变性可得到具体表达:

$$\begin{aligned} h^{\alpha\lambda} &= -g^{\alpha\lambda} + \frac{k_0^\alpha p^\lambda}{p \cdot k_0} \\ \Rightarrow H^q &= \mathcal{M}_{\alpha\lambda}^q \mathcal{P}^{\alpha\lambda} \end{aligned}$$

其中 helicity 投影算子  $\mathcal{P}^{\alpha\lambda}$  为

$$\mathcal{P}^{\alpha\lambda} = \frac{1}{2} \left( -g^{\alpha\lambda} + \frac{k_0^\alpha p^\lambda}{p \cdot k_0} + \frac{(k_0 + p)^\alpha k_0^\lambda}{m_{h_c}^2} \right)$$

$$\Rightarrow H^q = \frac{2f_{\eta^{(\prime)}}}{N_c \sqrt{N_c}} Q_c \sqrt{4\pi\alpha} (4\pi\alpha_s)^2 \int \frac{d^3 \hat{q}_c}{(2\pi)^3} \int dx \phi_{\eta^{(\prime)}}^{AS}(x) [H_0 + H_0(x \leftrightarrow \bar{x})]$$

其中  $f_{\eta^{(\prime)}}$  为有效衰变常数,  $H_0$  为无量纲函数——解析表达式。

- $\eta^{(\prime)}$  中胶子成分贡献

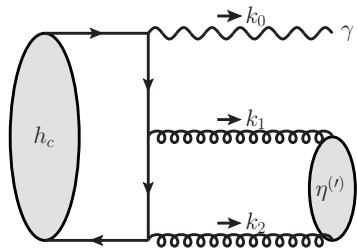


Figure:  $\eta^{(\prime)}$  中夸克成分贡献最低阶费曼图

# 胶子成分的矩阵元：

$$\langle 0 | A_\alpha^a(z_1) A_\beta^b(z_2) | \eta^{(\prime)}(p) \rangle = \frac{1}{4} \epsilon_{\alpha\beta\rho\sigma} \frac{k^\rho p^\sigma}{p \cdot k} \frac{C_F}{\sqrt{3}} \frac{\delta^{ab}}{8} f_{\eta^{(\prime)}}^1 \int dx e^{-i(xp \cdot z_1 + (1-x)p \cdot z_2)} \frac{\phi^g(x)}{x(1-x)}$$

这里衰变常数  $f_{\eta^{(\prime)}}^1$  为：  $f_{\eta^{(\prime)}}^1 = \frac{1}{\sqrt{3}} (f_{\eta^{(\prime)}}^u + f_{\eta^{(\prime)}}^d + f_{\eta^{(\prime)}}^s)$

衰变振幅：  $\mathcal{M}^g = \mathcal{M}_{\alpha\lambda}^g \varepsilon_0^{*\alpha} \varepsilon^\lambda = H^g h_{\alpha\lambda} \varepsilon_0^{*\alpha} \varepsilon^\lambda$

这里标量函数  $H^g$  为：  $H^g = Q_c \sqrt{4\pi\alpha} (4\pi\alpha_s) \frac{4}{\sqrt{3}} \int \frac{d^3 \hat{q}_c}{(2\pi)^3} \int_0^1 dx H_{g0}$

注意：  $H_{g0} \propto |\hat{q}_c|$

而自旋结构决定了矢量到赝标量的辐射衰变中：  $H_{g0(V \rightarrow \gamma p)} \propto \frac{m_p^2}{M_V^2}$

- ♣ P. Kroll and K. Passek-Kumericki, Phys. Rev. D67, 054017 (2003).
- ♣ P. Ball and G. W. Jones, JHEP 08, 025 (2007).
- ♣ S. S. Agaev, V. M. Braun, N. Offen, F. A. Porkert, and A. Schafer, Phys. Rev. D90, 074019 (2014).
- ♣ A. Ali and A. Ya. Parkhomenko, Phys. Rev. D65, 074020 (2002).

# 数值分析

## ✚ 衰变宽度

$$\Gamma(h_c \rightarrow \gamma\eta^{(\prime)}) = \frac{(1 - \frac{m_{\eta^{(\prime)}}^2}{m_{h_c}^2})}{16\pi m_{h_c}} |\tilde{\mathcal{M}}|^2,$$

其中

$$\begin{aligned} |\tilde{\mathcal{M}}|^2 &= \frac{1}{3} \sum_{\text{all polarization}} |\mathcal{M}^q + \mathcal{M}^g|^2 \\ &= \frac{1}{3} \sum_{\text{all polarization}} |(\mathcal{M}_{\alpha\lambda}^q + \mathcal{M}_{\alpha\lambda}^g) \epsilon^\alpha(P) \epsilon^\lambda(k_0)|^2 \\ &= \frac{1}{3} |H^q + H^g|^2 h^{\alpha\lambda} h^{\alpha'\lambda'} \left( -g_{\alpha\alpha'} + \frac{P_\alpha P_{\alpha'}}{m_{h_c}^2} \right) (-g_{\lambda\lambda'}) \\ &= \frac{2}{3} |H^q + H^g|^2. \end{aligned}$$

## ⊕ 相关参数

Table: 夸克味道基下有关混合参数 ( $f_\pi = 130.2\text{MeV}$ )

Model	$\phi^\circ$	$f_q/f_\pi$	$f_s/f_\pi$
Ambrosino	$40.4 \pm 0.6$	1.00	$1.352 \pm 0.007$
Cao	$37.66 \pm 0.70$	$1.078 \pm 0.044$	$1.246 \pm 0.087$
Escribano	$33.5 \pm 0.9$	$1.09 \pm 0.02$	$0.96 \pm 0.04$

- ♣ F. Ambrosino et al., JHEP 07, 105 (2009). global fit (低能过程)
- ♣ F.-G. Cao, Phys. Rev. D85, 057501 (2012).  $\eta^{(\prime)} \rightarrow \gamma\gamma, \gamma^*\gamma \rightarrow \eta^{(\prime)}$  (中间能区)
- ♣ R. Escribano, P. Masjuan, and P. Sanchez-Puertas, Phys. Rev. D89, 034014 (2014); Eur. Phys. J. C75, 414 (2015).  $\eta^{(\prime)} \rightarrow \gamma\gamma, \gamma^*\gamma \rightarrow \eta^{(\prime)}$  (渐近极限, PAs)

Table:  $\eta^{(\prime)}$  中胶子成分贡献 ( $\Gamma_{h_c} = 0.70 \pm 0.36$  MeV)

Model	$\mathcal{B}(h_c \rightarrow \gamma\eta)$	$\mathcal{B}(h_c \rightarrow \gamma\eta')$	$\mathcal{R}_{h_c} = \frac{\mathcal{B}(h_c \rightarrow \gamma\eta)}{\mathcal{B}(h_c \rightarrow \gamma\eta')}$
Ambrosino	$0.03 \times 10^{-4}$	$0.23 \times 10^{-3}$	1.2%
Cao	$0.13 \times 10^{-4}$	$0.22 \times 10^{-3}$	5.9%
Escribano	$0.38 \times 10^{-4}$	$0.16 \times 10^{-3}$	23.1%
Experiment	$(4.7 \pm 1.5 \pm 1.4) \times 10^{-4}$	$(1.52 \pm 0.27 \pm 0.29) \times 10^{-3}$	$(30.7 \pm 11.3 \pm 8.7)\%$

Table:  $\eta^{(\prime)}$  中夸克成分贡献 ( $\Gamma_{h_c} = 0.70 \pm 0.36$  MeV)

Model	$\mathcal{B}(h_c \rightarrow \gamma\eta)$	$\mathcal{B}(h_c \rightarrow \gamma\eta')$	$\mathcal{R}_{h_c} = \frac{\mathcal{B}(h_c \rightarrow \gamma\eta)}{\mathcal{B}(h_c \rightarrow \gamma\eta')}$
Ambrosino	$0.08 \times 10^{-4}$	$0.52 \times 10^{-3}$	1.6%
Cao	$0.36 \times 10^{-4}$	$0.52 \times 10^{-3}$	7.0%
Escribano	$1.19 \times 10^{-4}$	$0.37 \times 10^{-3}$	31.8%
Experiment	$(4.7 \pm 1.5 \pm 1.4) \times 10^{-4}$	$(1.52 \pm 0.27 \pm 0.29) \times 10^{-3}$	$(30.7 \pm 11.3 \pm 8.7)\%$

我们发现胶子成分贡献并没有特别压低:  $H_{g0} \propto |\hat{\mathbf{q}}_c|$

Table: 夸克成分+胶子成分的总贡献 ( $\Gamma_{h_c} = 0.70 \pm 0.36 \text{ MeV}$ )

Model	$\mathcal{B}(h_c \rightarrow \gamma\eta)$	$\mathcal{B}(h_c \rightarrow \gamma\eta')$	$\mathcal{R}_{h_c} = \frac{\mathcal{B}(h_c \rightarrow \gamma\eta)}{\mathcal{B}(h_c \rightarrow \gamma\eta')}$
Ambrosino	$0.20 \times 10^{-4}$	$1.27 \times 10^{-3}$	1.5%
Cao	$0.89 \times 10^{-4}$	$1.26 \times 10^{-3}$	7.0%
Escribano	$2.76 \times 10^{-4}$	$0.91 \times 10^{-3}$	30.2%
Experiment	$(4.7 \pm 1.5 \pm 1.4) \times 10^{-4}$	$(1.52 \pm 0.27 \pm 0.29) \times 10^{-3}$	$(30.7 \pm 11.3 \pm 8.7)\%$

- ① 夸克、胶子贡献干涉增强
- ② 比值  $\mathcal{R}_{h_c}$  不依赖于  $\Gamma_{h_c}$  的不确定度
- ③ 比值  $\mathcal{R}_{h_c}$  本身的优越性就能很好地消除来自初态软贡献的不确定度

## ✿ 唯象讨论： $\eta - \eta'$ flavor mixing

$$\mathcal{R}_{h_c} = \frac{\mathcal{B}(h_c \rightarrow \gamma\eta)}{\mathcal{B}(h_c \rightarrow \gamma\eta^{(\prime)})} = a \left( \frac{\sqrt{2} - r \tan \phi}{\sqrt{2} \tan \phi + r} \right)^2$$

其中

$$r = \frac{f_s}{f_q}, \quad a = \frac{m_{h_c}^2 - m_\eta^2}{m_{h_c}^2 - m_{\eta'}^2} \frac{|H_{\eta'0}^q + \frac{1}{\sqrt{3}} H_{\eta'0}^g|^2}{|H_{\eta'0}^q + \frac{1}{\sqrt{3}} H_{\eta'0}^g|^2}$$

这里的无量纲函数  $H_{\eta^{(\prime)}0}^q$  和  $H_{\eta^{(\prime)}0}^g$  有下列关系给出：

$$f_{\eta^{(\prime)}} H_{\eta^{(\prime)}0}^q = H^q \quad f_{\eta^{(\prime)}}^1 H_{\eta^{(\prime)}0}^g = H^g$$

另外，根据 $\eta^{(\prime)} \rightarrow \gamma\gamma$ 衰变过程得到：

$$|F_{\eta\gamma\gamma}(0)|_{exp} = 0.274(5) \text{ GeV}^{-1},$$

$$|F_{\eta'\gamma\gamma}(0)|_{exp} = 0.344(6) \text{ GeV}^{-1}.$$

理论计算( $U_A(1)$  反常)：

$$F_{\eta\gamma\gamma}(0) = \frac{\sqrt{2}}{4\pi^2} \left( \frac{\hat{c}_q}{f_q} \cos \phi - \frac{\hat{c}_s}{f_s} \sin \phi \right),$$

$$F_{\eta'\gamma\gamma}(0) = \frac{\sqrt{2}}{4\pi^2} \left( \frac{\hat{c}_q}{f_q} \sin \phi + \frac{\hat{c}_s}{f_s} \cos \phi \right),$$

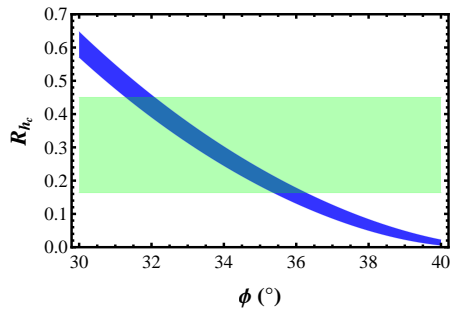
其中， $\hat{c}_q = 5/3$ ,  $\hat{c}_s = \sqrt{2}/3$ .

定义： $\rho = \frac{|F_{\eta\gamma\gamma}(0)|}{|F_{\eta'\gamma\gamma}(0)|}$ , 可有实验值 $\rho_{exp} = \frac{|F_{\eta\gamma\gamma}(0)|_{exp}}{|F_{\eta'\gamma\gamma}(0)|_{exp}} = \frac{0.274(5)}{0.344(6)}$ 给出

$$\Rightarrow r \text{ 与 } \phi \text{ 解析约束: } r = \left. \frac{\sqrt{2}(\rho + \tan \phi)}{5(1 - \rho \tan \phi)} \right|_{\rho=\rho_{exp}}$$

- ♣ Particle Data Group Collaboration, M. Tanabashi et al., Phys. Rev. D98, 030001 (2018).
- ♣ D. Babusci et al. (KLOE-2 Collaboration), J. High Energy Phys. 01, 119 (2013).
- ♣ H. Leutwyler, Nucl. Phys. B, Proc. Suppl. 64, 223 (1998).
- ♣ R. Escribano, P. Masjuan, and P. Sanchez-Puertas, Phys. Rev. D89, 034014 (2014); Eur. Phys. J. C75, 414 (2015).

将 $r$ 与 $\phi$ 的解析约束关系带入 $\mathcal{R}_{h_c}$ 的理论表达式，即得 $\mathcal{R}_{h_c}$ 与 $\phi$ 的依赖关系（如图，蓝色带子），而 $\mathcal{R}_{h_c}$ 的实验值由绿色带子表示 $\Rightarrow \phi = 33.8^\circ \pm 2.5^\circ$



- ♣ E. B. Gregory and C. McNeile, Phys. Rev. D86, 014504 (2012).
- ♣ R. Escribano, P. Masjuan, and P. Sanchez-Puertas, Phys. Rev. D89, 034014 (2014); Eur. Phys. J. C75, 414 (2015).

# 总结

- ✓ 通过考虑P波束缚态 $h_c$ 的内部动量（引入 $B - S$ 波函数），消除了红外发散。
- ✓ 我们发现在 $h_c \rightarrow \gamma\eta^{(\prime)}$ 的辐射衰变过程中， $\eta^{(\prime)}$ 中胶子成分的贡献也很重要。
- ✓ 我们给出了非常符合实验值的 $\mathcal{R}_{h_c}$ ，预言了 $\eta - \eta'$ 的混合角为 $\phi = 33.8^\circ \pm 2.5^\circ$

Thanks for your attention!



Email: [fancj@mails.ccnu.edu.cn](mailto:fancj@mails.ccnu.edu.cn)